

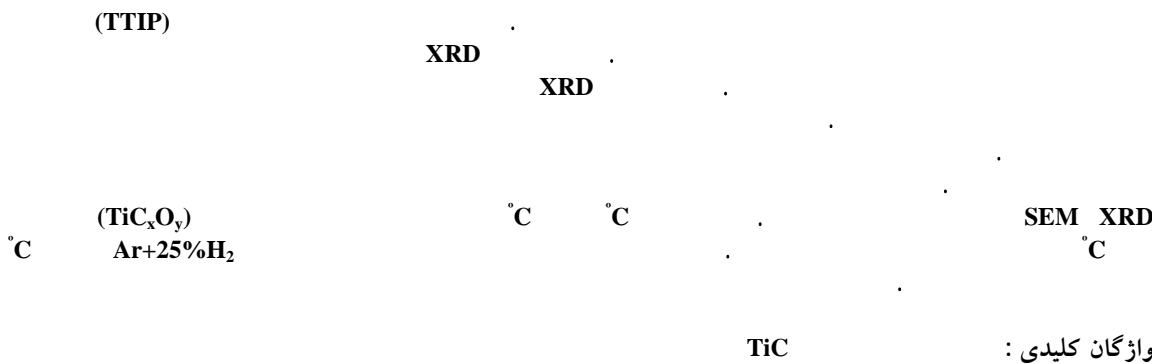
بررسی عوامل موثر بر سنتز کاربید تیتانیوم نانوساختار به روش سلژ

* فاطمه حسینزاده و حسین سرپولکی

دانشکده مهندسی مواد، دانشگاه علم و صنعت ایران

(دریافت مقاله: ۱۳۹۰/۱۲/۱ - دریافت نسخه نهایی: ۱۳۹۱/۱۰/۰۶)

- چکیده



Preparation and characterization of nano-sized TiC powder by sol gel processing

F. Hosseinzadeh and H. Sarpoolaky

Department of Materials Science and Engineering, Iran University of Science and Technology, Tehran, Iran

Abstract: Refractory carbides are becoming a group of promising material due to their unique properties, such as high hardness, high wear and corrosion resistance, high thermal conductivity, high melting point, high strength even at high temperatures, and a high degree of chemical stability. Among these carbides, titanium carbide (TiC) is one of the most important

*: مسئول مکاتبات، پست الکترونیکی: hsarpoolaky@iust.ac.ir

engineering material, based on its promising properties. This paper presents a novel approach to preparing ultrafine TiC by sol-gel processing. This novel process would minimize kinetic barriers because carbon (coming from sucrose) was homogeneous dispersed in the precursor of TiO₂ by sol-gel process. As a result, the increased contact area between reactants should make the reaction to complete at lower temperatures.

Keywords: Sol-Gel, Titanium Carbide Nano-sized TiC, Sucrose

دمای پایین و مقاومت به اکسیداسیون آن محدود شده است.

بهترین راهکار برای بهبود خواص مکانیکی کاربیدها، کاهش اندازه‌ی کریستالیت‌ها تا ابعاد نانومتری است. به عبارت دیگر، امروزه اثبات شده است که خواص مکانیکی سرامیک‌های نانو ساختار به مقدار قابل توجهی اصلاح می‌شود [۵].

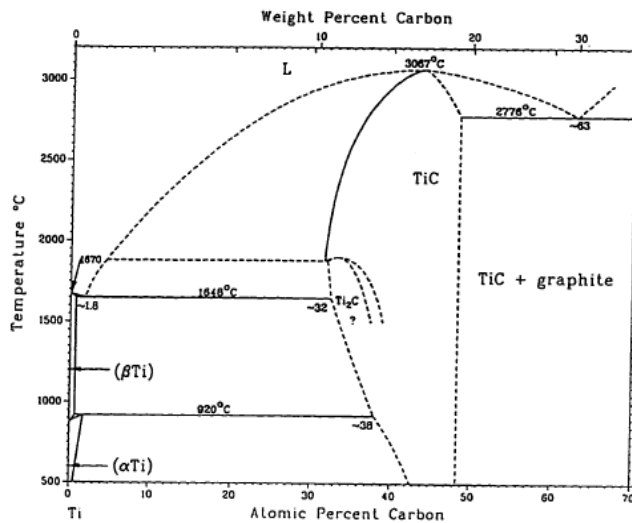
نمودار فازی سیستم Ti-C در شکل(۱) نشان داده شده است. خطوط نقطه چین نواحی عدم قطعیت را در نمودار نشان می‌دهد، زیرا این سیستم تمایل شدیدی به ترکیب شدن با اکسیژن و نیتروژن دارد و مقادیر جزیی اکسیژن یا نیتروژن تاثیر زیادی بر خواص فیزیکی و شیمیایی دارند، بنابراین مرزهای سیستم دو تابی Ti-C به دلیل شرایط آزمایشگاهی قطعیت زیادی ندارد [۶].

تولید جهانی کاربید تیتانیوم ۱۲۰۰ تا ۱۵۰۰ تن است. در مقیاس صنعتی این ماده اغلب از واکنش اکسید تیتانیوم با دوده تولید می‌شود. در تولید صنعتی، تیتانیوم اکسید خاص ۹۹/۸ درصد با ناخالصی‌های ناچیز P, S, Fe و Si و قلیاهای ۶۸/۵ و دی اکسید تیتانیوم در حالت خشک یا خیس به نسبت ۳۱/۵ با دوده یا گرافیت با خاکستر خیلی کم بسیار ریز مخلوط می‌شوند. مخلوط خشک به صورت قرص پرس می‌شود و در یک کوره لوله‌ای کربنی عمودی یا افقی در ۱۹۰۰°C تا ۲۳۰۰°C گرمایی داده می‌شود. هیدروژنی که عاری از اکسیژن و نیتروژن است به عنوان اتمسفر احیاگذاری به کار می‌رود. روش‌های متعددی برای سنتز TiC وجود دارد مانند احیای کربورمال دی اکسید تیتانیوم، واکنش کربوراسیون مستقیم بین پودر تیتانیوم خالص و کربن و... . اما برخی روش‌ها گران هستند و نیاز به دماهای بالا دارند، بنابراین امروزه روش‌های ویژه‌ای برای تولید ارزان‌تر کاربید تیتانیوم

۱- مقدمه

کاربیدها جزو سرامیک‌های مهندسی و پیشرفته محسوب می‌شوند. تکنولوژی و کاربرد مواد کاربیدی در دهه‌های اخیر توسعه توسعه در زمینه سرامیک‌های مهندسی کاربیدی، پوشش‌های کاربید تیتانیوم برای ابزارهای برشی، الیاف کاربید سیلیسیم، نیمه‌هادی‌ها و... چند برابر شده است. در سی سال گذشته، اکثر کاربیدهای صنعتی شامل کاربیدهای دیرگذار بوده‌اند و کاربیدهای جدید در حال توسعه است. در این کاربردها از پودرهای، قطعات بالک، مونولیتیک، پوشش‌ها، الیاف و ویسکرها استفاده می‌شود [۱].

کاربید تیتانیوم سخت‌ترین کاربید در میان کاربیدهای فلزات واسطه تجاری است. کاربید تیتانیوم از کاربیدهای بین‌نشین گروه IV است و ترکیب اصلی آن (TiC_{1-x}) (FCC) است. کاربید تیتانیوم دارای شبکه مکعبی با خواص مطلوب و منحصر به‌فردی است. به دلیل نقطه ذوب بسیار بالا و استحکام و پایداری زیاد در دماهای بالا یک کاربید دیرگذار محسوب می‌شود. TiC دارای نقطه ذوب بالا (۳۰۶۷°C)، استحکام بالا (۳۲۰۰Kg/mm²)، سختی زیاد (۲۴۸/۲۱×۱۰⁹Pa) کریستال، دانسیته کم، مقاومت به اکسیداسیون و خوردگی در دماهای بالا و مدول یانگ بالا، مقاومت الکتریکی بالا (۰/۳-۰/۸Ω.cm) و بیشتر از فلز تیتانیوم است. تجاري (K_{IC}=۳/۴MPa√m) دارای چقرمگی کم (زیتر یا پرس گرم) است [۲-۴]. کاربید تیتانیوم در مقایسه با سایر کاربیدها مانند کاربید تنگستن (WC)، دارای ۳۳٪ سختی بالاتر و دانسیته کمتری است و جزو مواد تقویت‌کننده‌ی رایج بعد از SiC و Al₂O₃ محسوب می‌شود. بنابراین این کاربید بالقوه قابلیت استفاده در کاربردهای پیشرفته را دارد. اما امروزه محدوده‌ی وسیعی از این کاربیدها به دلیل تردی، محدوده شکست ضعیف در



شکل ۱- نمودار فازی سیستم [۶] Ti-C

دهماهای پایین‌تری در حدود 1200°C گزارش کرده‌اند. اگر چه سنتز کاربید تیتانیوم به روش سل‌ژل انجام شده است و عوامل موثر بر فرایند سل‌ژل TiC تا حدودی مطالعه شده است اما این نتایج بسیار محدود است و اطلاعات بسیار مختصری راجع به سنتز TiC به روش سل‌ژل و شرایط بهینه به دست آمده است. اندازه‌ی ذرات کاربید تیتانیوم سنتز شده به روش سل‌ژل، اغلب در ابعاد میکرونی است و نتایج بسیار محدودی برای سنتز کاربید تیتانیوم نانوساختار گزارش شده است. کاربید تیتانیوم نانوساختار نسبت به سایر نانوکاربیدها کمتر مورد مطالعه قرار گرفته است و فقط در برخی مقالات به روش‌های سنتز محدودی برای نانو TiC بیان شده است. هنوز اطلاعات کاملی از خواص منحصر به فرد TiC به صورت دقیق در دسترس نیست. در پژوهش حاضر شرایط بهینه‌ی سنتز نانوذرات کاربید تیتانیوم به روش شیمیایی سل‌ژل در بسترهاي مختلف كالسيناسيون برای اولين بار در ايران مورد مطالعه قرار گرفته است و از ساکارز به عنوان منبع تامين کننده‌ی کربن استفاده شده است. بنابراین نیاز به تحقیق و بررسی انواع روش‌های سنتز به

پیشنهاد شده است. در این راستا مناسب‌ترین روش، سنتز شیمیایی سل‌ژل است که یک فرایند نوبن آزمایشگاهی و صنعتی است که امروزه به عنوان روشی موثر در سنتز و تولید انواع نانوذرات کاربرد دارد و امکان چینش مواد در شرایط نانومتری را فراهم می‌کند. در دهه‌ی اخیر تحقیقات زیادی برای سنتز انواع کاربیدها در ابعاد میکرونی و نانومتری به روش سل‌ژل انجام شده است. زیرا با استفاده از سنتز شیمیایی امکان ساخت کاربیدهای دیرگذاز در دهماهای پایین‌تری فراهم می‌شود. اولین تجربه در ساخت پودرهای کاربید تیتانیوم به روش سل‌ژل در سال ۱۹۹۹ توسط هنری پریس^۱ و همکارانش در آلمان صورت گرفت [۷]. در سال ۲۰۰۵، رامبو^۲ و همکارانش [۸]، کاربیدهای مختلفی از جمله کاربید تیتانیوم، کاربید سیلیکون و کاربید زیرکونیوم را به روش سل‌ژل در ابعاد میکرون سنتز کردند. آن‌ها از چوب کاج^۳ به عنوان منبع تامین کننده‌ی کربن و یک تمپلیت برای سنتز کاربیدها با ساختار متخالخل برای کاربردهای بیولوژی استفاده کردند. در سال ۲۰۰۸، ژانگ^۴ و همکارانش [۹] نیز پودر کاربید تیتانیوم را به روش سل‌ژل با احیای کربوترمال توسط مایکروویو در

جدول ۱- مشخصات مواد اولیه مورد استفاده

CAS Number	نام شرکت	فرمول شیمیایی	نام ماده
۵۴۶-۶۸-۹	Merck	$C_{12}H_{28}O_4Ti = Ti(OC_4H_9)_4$	ترالیزوپروپوکساید تیتانیوم ^۵ (TTIP)
۶۷-۶۳-۰	Merck	$C_3H_8O = C_3H_3CH(OH)CH_3$	ایزوپروپانول ^۶ (IPA)
۷۶۹۷-۷۳-۲	Merck	HNO_3	اسید نیتریک ^۷ ٪ ۶۵
۵۷-۵۰-۱	Merck	$C_{12}H_{22}O_{11}$	ساکارز (شکر) ^۸

مراحل کلی اجرای پژوهش به صورت خلاصه در شکل (۲) نشان داده شده است.

با توجه به نتایج پریس و همکارانش در سنتز TiC به روش سلزل [۷]، pH بهینه برای سنتز کاربید تیتانیوم نانوساختار مقدار ۴ گزارش شده است. برای بررسی عوامل موثر بر سنتز کاربید تیتانیوم نانوساختار، نمونه‌ها در شرایط مختلف آماده و مورد مطالعه قرار گرفتند. در ابتدا دو نمونه با منبع کربنی ساکارز آماده و در ۴ pH تنظیم شد. در ابتدا این نمونه‌ها در بسترهای از گرافیت کلسینیه شدند و در ادامه در شرایط مشابه این نمونه‌ها در اتمسفر آرگون و اتمسفر آرگون + ۲۵٪ هیدروژن نیز مورد بررسی و مقایسه قرار گرفتند و اثر اتمسفر بر محصول نهایی بحث شد. برای مطالعه تاثیر دمای کلسیناسیون بر محصول نهایی نیز نمونه‌ها در دماهای مختلف ۱۲۰۰°C، ۱۳۰۰°C و ۱۴۰۰°C بررسی شدند. در نمونه‌هایی با کد S1 و S2 از ساکارز به عنوان منبع تامین کننده کربن استفاده شده و در اتمسفر مخلوط آرگون و هیدروژن کلسیناسیون انجام شده است و pH به ترتیب ۲ و ۴ تنظیم شده است. در نمونه‌هایی با کد A1، A2 از ساکارز استفاده شده و pH به ترتیب ۲ و ۴ تنظیم و کلسیناسیون در بستر عنوان منبع تامین کننده کربن استفاده و در بستر گرافیتی کلسیناسیون شده است. در انتهای شناسایی ترکیب فازی محصول نهایی از تحلیل XRD و برای بررسی

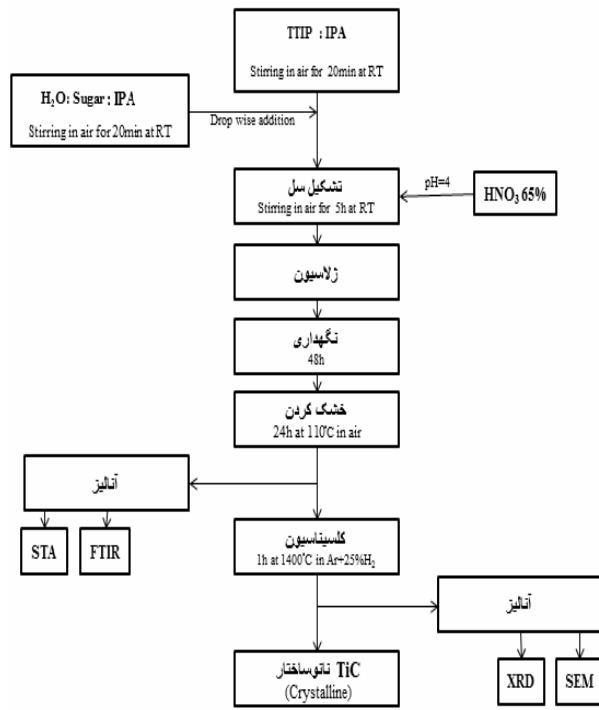
صرفه و پربازده است و زمینه برای مطالعات گسترشده در این مبحث به صورت بالقوه وجود دارد. با بررسی‌های بیشتر می‌توان اطلاعات کامل تری از کاربید تیتانیوم نانوساختار به دست آورد و بی‌شك می‌تواند منجر به پیشرفت‌های چشمگیر در کاربردهای صنعتی سایشی و برشی شود.

۲- مواد و روش تحقیق

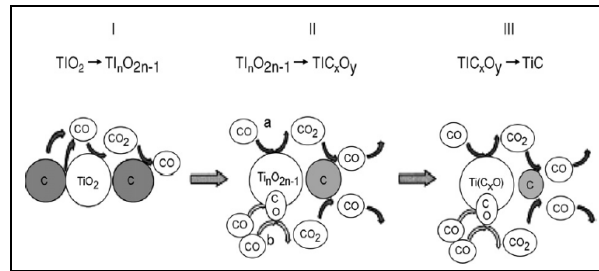
برای ساخت سل از تیتانیوم ایزوپروپوکساید (TTIP) به عنوان پیش‌ماده‌ی تیتانیوم و ساکارز به عنوان منبع تامین کننده کربن استفاده شده است. از الكل ایزوپروپانول (IPA) به عنوان حلال و از اسید نیتریک ۶۵٪ برای تنظیم pH سیستم استفاده شده است. در جدول (۱) مشخصات مواد اولیه مورد استفاده به صورت کامل مشخص شده است. در ساخت یک سل مناسب با شرایط بهینه، عواملی مانند نسبت مولی آب به الکوكسید یا نسبت الكل به الکوكسید بسیار تاثیرگذار است. نسبت مواد اولیه برای رسیدن به شرایط بهینه سل تیتانیا با توجه به مقادیر گزارش شده در مطالعات پریس و همکارانش [۷] انتخاب شده است. نسبت الکوكسید تیتانیوم، آب و الكل برای تهیه سل با شرایط بهینه به صورت زیر انتخاب شده است:

$$\frac{TTIP}{IPA} = 0.45 \text{ mol/lit}$$

$$\frac{H_2O}{IPA} = 4.5 \text{ mol/lit}$$



شکل ۲-نمودار جریان مراحل اجرای پژوهش

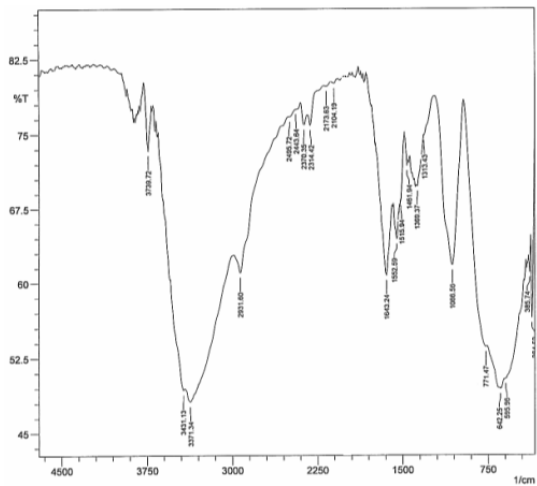


شکل ۳- شماتیک مکانیزم احیای TiO_2 و تشکیل TiC [۱۳]

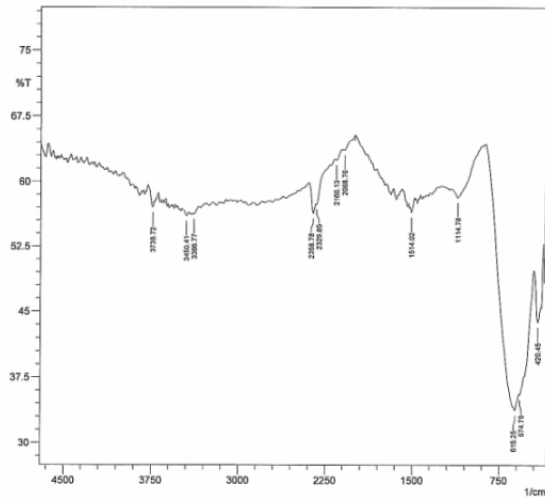
۳- نتایج و بحث

زمانی که الکوکسید تیتانیوم با آب واکنش می‌کند به دلیل تکمیل مراحل هیدرولیز و چگالش، پل‌های اکسیژنی O-Ti-O تشکیل می‌شود. سپس واکنش با منبع تامین کننده‌ی کربن مانند ساکارز منجر به استری شدن و تراکم می‌شود و حتی ممکن است رسوب حاصل شود. گاهی به دلیل حضور مواد آلی در سیستم،

مورفولوژی و ریزساختار از تحلیل SEM استفاده شده است. برای تحلیل فازی پراش اشعه ایکس، از دستگاه PW 1800 PHILIP ساخت کشور هلند موجود در شرکت تحقیقاتی مواد معدنی کانسaran بینالود استفاده شده است. آند به کار رفته برای تولید پرتو ایکس از جنس $K_{\alpha}\text{-Cu}$ با طول موج ۱/۵۴۸ است.



شکل ۴- طیف FTIR برای ژل خشک شده‌ی S1 در دمای 110°C به مدت ۲۴ ساعت



شکل ۵- طیف FTIR برای پودر S1 پخت شده در دمای 1400°C به مدت یک ساعت



مطالعات برگر و همکارانش [۱۲]، سه مرحله‌ی کلی را برای احیای کربوترمال TiO_2 و تشکیل TiC مطرح کردند. مکانیزم این مراحل به صورت خلاصه در شکل (۳) نشان داده شده است:

- اجیا TiO_2 با C و CO که می‌تواند ناشی از واکنش

امکان تشکیل گروههای - $\text{Ti}-\text{O}-\text{CH}_2-\text{CH}_2-\text{O}-\text{Ti}$ - نیز وجود دارد. فلز تیتانیوم با بیشترین عدد کوردیناسیون با ساختارهای لیگاندی‌های کی‌لیت دهنده‌ی دو دندانه یک کمپلکس تشکیل می‌دهد و مرحله‌ی چگالش به طور کامل اتفاق می‌افتد. مراحل احیا به صورت زیر بیان شده است [۱۰ و ۱۱].



با توجه به منحنی ها جرم سیستم در بازه‌ی دمایی 900°C - 500°C تقریباً ثابت است. در بالای دمای 1000°C واکنش‌های احیای کربوترمال آغاز می‌شوند. در دمای حدود 1400°C اکسی‌کاربید تیتانیوم تشکیل می‌شود و با افزایش دما تا 1400°C - 1300°C پیک گرمایشی تشکیل کاربید تیتانیوم مشاهده می‌شود.

در شکل (۷) الگوی پراش نمونه‌های کلسینه شده در بستری از گرافیت و دمای 1400°C به مدت یک ساعت نشان داده شده است.

شرایط پخت در بستری از گرافیت، امکان تبادل هوا و نفوذ اکسیژن و نیتروژن را تا حدودی فراهم می‌کند و اجتناب ناپذیر است. بنابراین همان طور که در شکل (۷) مشاهده می‌شود فازهای اکسید تیتانیوم به صورت روتایل و آناتاز در سیستم حاصل شده است زیرا تیتانیوم تمایل شدیدی به ترکیب شدن با اکسیژن دارد. نیترید تیتانیوم هم به مقدار کمی مشاهده می‌شود. محصول مطلوب در این شرایط به جای کاربید تیتانیوم، فاز $\text{TiC}_{0.2}\text{N}_{0.8}$ است که ناشی از حضور نیتروژن و اکسیژن در محیط کوره است. شکل (۸) انرژی آزاد گیس را برای تشکیل TiC و TiN نشان می‌دهد. در صورتی که نیتروژن در اتمسفر به عنوان یک فاز ناخالصی موجود باشد و در دمایی پایین‌تر از 1890°C کلوین، تمایل تیتانیوم برای تشکیل نیترید تیتانیوم بیشتر از تشکیل کاربید تیتانیوم است. در منحنی ها نیز مشاهده می‌شود در دمایی کمتر از 1890°C کلوین انرژی آزاد تشکیل نیترید تیتانیوم کمتر از کاربید تیتانیوم است.

بنابراین برای رسیدن به محصول مورد نظر یعنی کاربید تیتانیوم باید محیط کوره حاوی مقادیر بسیار کمتری اکسیژن و نیتروژن باشد. بنابراین در مرحله‌ی بعد کلسیناسیون در اتمسفر آرگون و هیدروژن انجام شد.

اکنون مشاهده می‌شود در اتمسفر آرگون و هیدروژن محصول نهایی کاربید تیتانیوم خالص است و هیچگونه ناخالصی یا فاز دیگری وجود ندارد. بنابراین در اتمسفر

کربن و اکسیژن موجود در سطح باشد و منجر به تشکیل اکسیدهای تیتانیوم با درجه اکسیژن پایین‌تر با فرمول عمومی $\text{Ti}_n\text{O}_{2n-1}$ Ti_3O_5 و Ti_2O_3 مانند $\text{TiC}_{0.2}\text{N}_{0.8}$ تشکیل می‌شود.

- ۲- جانشینی کربن به جای اکسیژن و تشکیل اکسی‌کاربید تیتانیوم با فرمول (TiC_xO_y) ($x=0.67$, $y=0.33$)

۳- تشکیل TiC

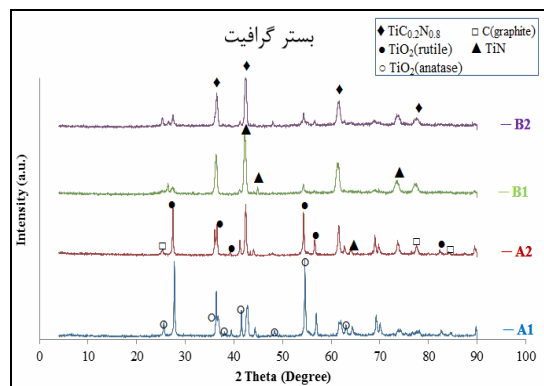
به دلیل تمایل بالای سیستم Ti-C به ترکیب شدن با اکسیژن و نیتروژن محیط و تاثیر زیاد این ناخالصی‌ها بر استوکیومتری نهایی محصول، اتمسفر کلسیناسیون یکی از مهم‌ترین و تعیین‌کننده‌ترین پارامتر در سنتز کاربید تیتانیوم محسوب می‌شود.

شکل (۴) و (۵) به ترتیب طیف FTIR نمونه‌ی S1 را برای ژل خشک شده در دمای 110°C و پخت شده در دمای 1400°C به مدت یک ساعت نشان می‌دهد. در نمونه‌ی پخت شده، پیک‌های ارتعاشات کششی O-H و ارتعاشات خمیشی مولکول‌های آب جذب شده در فرکانس $3000\text{-}3400\text{ cm}^{-1}$ کاملاً حذف شده است. شدت نوارهای کششی در فرکانس‌های 1000 cm^{-1} و 630 cm^{-1} کاهش چشمگیری یافته است که بیانگر کاهش قابل توجه پیوندهای Ti-O و Ti-O-Ti در نمونه‌های پخت شده در مقایسه با ژل خشک شده است. دو نوار کششی جدید در طول موج‌های حدود 430 cm^{-1} و 640 cm^{-1} ظاهر شده است که به ترتیب ناشی از پیوندهای Ti-O-C و Ti-C است.

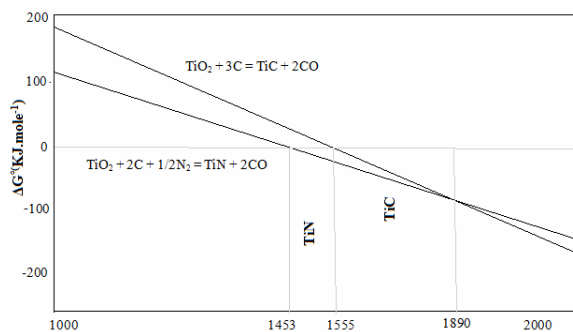
رفتار گرمایی در نمونه‌ها تا دمای 1400°C با نرخ گرمایش 10°C/min و در اتمسفر آرگون مورد بررسی قرار گرفته است در منحنی DTA شکل (۶) دو پیک گرمایشی در دمایی 150°C و 270°C مشاهده می‌شود. در دمای 150°C افت وزنی 4% و در دمای 270°C افت وزنی 5% افت وزنی محاسبه شده است. در دمای 270°C افت وزنی به دلیل تجزیه‌ی گروه‌های آلی ژل (COOH, OH,...) است و در حدود $13/43\%$ کاهش وزنی محاسبه شده است.



شکل ۶- منحنی DTA-TG برای نمونه S1



شکل ۷- الگوی پراش نمونه‌های A1, A2, B1 و B2 کلسینه شده در بستر گرافیت در دمای 140°C به مدت یک ساعت



شکل ۸- انرژی آزاد گیبس برای تشکیل نیترید تیتانیوم و کاربید تیتانیوم [۱۴]

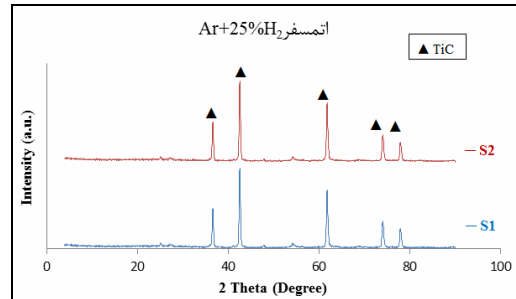
به دو دلیل زیر است:

۱- ساکارز به صورت کاملا همگن در پیش‌ماده تیتانیا توزیع شده است و در خلال فرایند کلسیناسیون، به کربن تبدیل می‌شود. این کربن نیز به صورت کاملا یکنواخت سطح تیتانیا را می‌پوشاند و به دلیل ایجاد سطح تماس بالا بین TiO_2 و C، دمای تشکیل TiC کاهش می‌یابد.

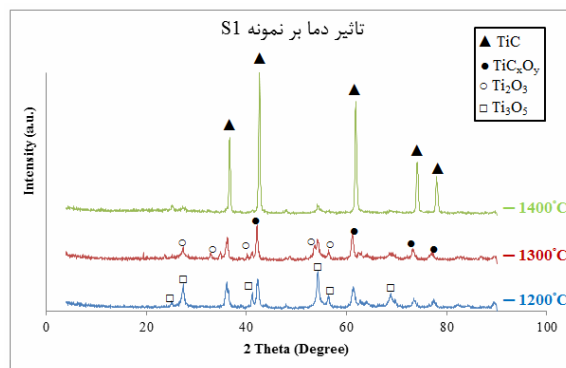
۲- اندازه ذرات TiO_2 حاصل از پیش‌ماده‌های آلی مانند الکوكسید تیتانیوم بسیار کوچک است و در ابعاد مولکولی و اتمی‌اند و می‌توانند سطح ویژه و اکتیویته‌ی بالایی را فراهم کنند.

بنابراین برای بررسی تاثیر دما بر محصول نهایی نمونه‌ی S1 به مدت یک ساعت در اتمسفر Ar+25%H₂ در دمای ۱۲۰۰°C، ۱۳۰۰°C و ۱۴۰۰°C مورد مطالعه قرار گرفت. شکل (۹) الگوی پراش نمونه‌ی S1 را در دمای ۱۲۰۰°C، ۱۳۰۰°C و ۱۴۰۰°C نشان می‌دهد.

طبق نتایج به دست آمده از تحلیل XRD در دمای کمتر مانند ۱۲۰۰°C اکسی کاربید تیتانیوم TiC_xO_y به همراه اکسید تیتانیوم به شکل Ti_3O_5 حضور دارد. با توجه به مکانیزم احیای تیتانیا ابتدا اکسیدهای تیتانیوم با درصد اکسیژن بیشتری مانند Ti_3O_5 تشکیل می‌شود. بنابراین در این دما حضور Ti_3O_5 به معنای آن است که هنوز مکانیزم احیای کربوترمال اتمام نشده است. اکسی کاربید تیتانیوم یک محلول جامد از TiO و TiC است که پیک‌های XRD آن شیفت بسیار کمی با پیک TiC دارد که قابل شناسایی است. با افزایش دما به ۱۳۰۰°C همچنان فاز TiC_xO_y حضور دارد، اما مقدار فاز Ti_3O_5 کاهش یافته و اکسید تیتانیوم به صورت Ti_2O_3 همزمان وجود دارد و این امر بیانگر پیشرفت بیشتر مکانیزم احیا در سیستم است. بنابراین با افزایش دما مقدار اکسی کاربید تیتانیوم بیشتر شده است و از مقادیر اکسید تیتانیوم کاسته شده است. در ادامه با افزایش دما به ۱۴۰۰°C در نمونه‌ی S1 اثری از حضور اکسیدهای تیتانیوم دیده نمی‌شود و مشاهده می‌شود پیک‌های TiC_xO_y شیفت کوچکی پیدا کردند و به مکان



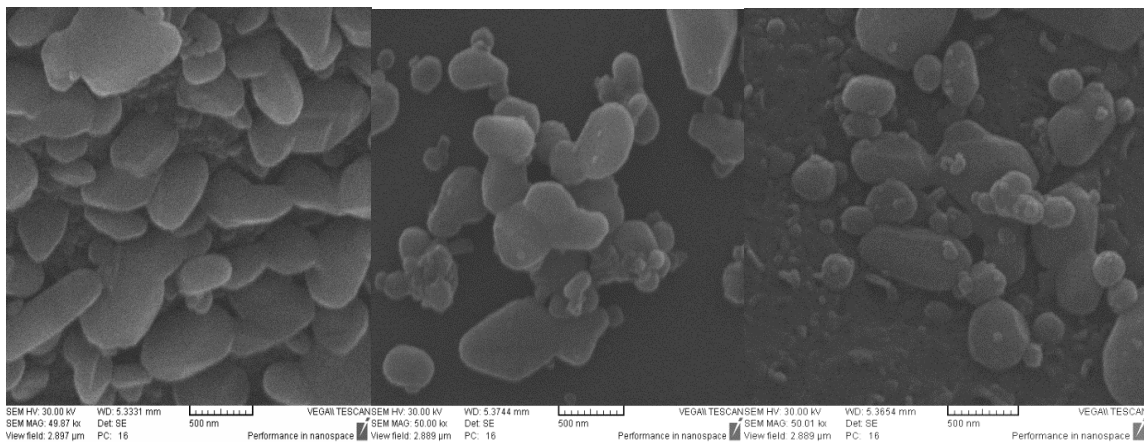
شکل ۹- الگوی پراش نمونه‌های S1 و S2 کلسینه شده در اتمسفر Ar+25%H₂ در دمای ۱۴۰۰°C به مدت یک ساعت



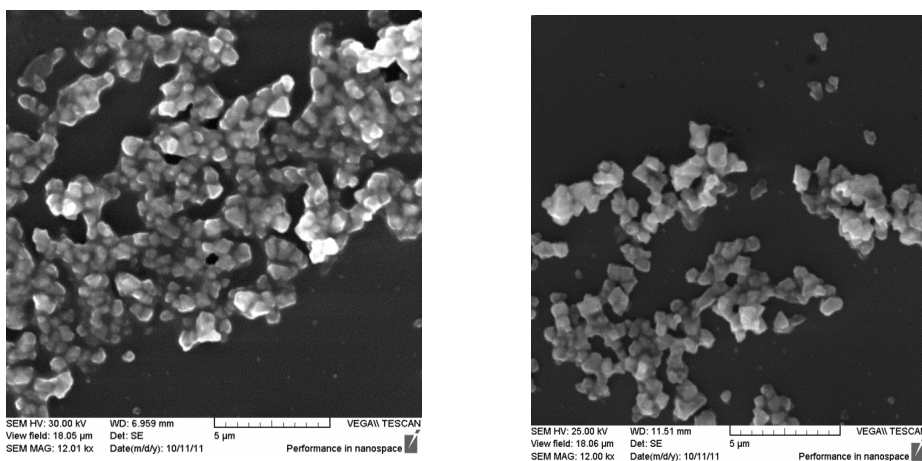
شکل ۱۰- الگوی پراش نمونه‌ی S1 را در دمای ۱۲۰۰°C، ۱۳۰۰°C و ۱۴۰۰°C

اکسیدی امکان سنتز و کلسیناسیون کاربید تیتانیوم وجود ندارد و هر چه اتمسفر احیایی‌تر و عاری از اکسیژن و نیتروژن باشد احتمال دستیابی به یک کاربید تیتانیوم با خلوص بالا، بسیار زیادتر می‌شود. با توجه به نتایج به دست آمده از بررسی‌های فازی توسط تحلیل XRD، اهمیت اتمسفر بر استوکیومتری، نوع و مقدار محصول نهایی مشخص شد و بهینه‌ترین اتمسفر برای سنتز کاربید تیتانیوم Ar+25%H₂ تعیین شده است.

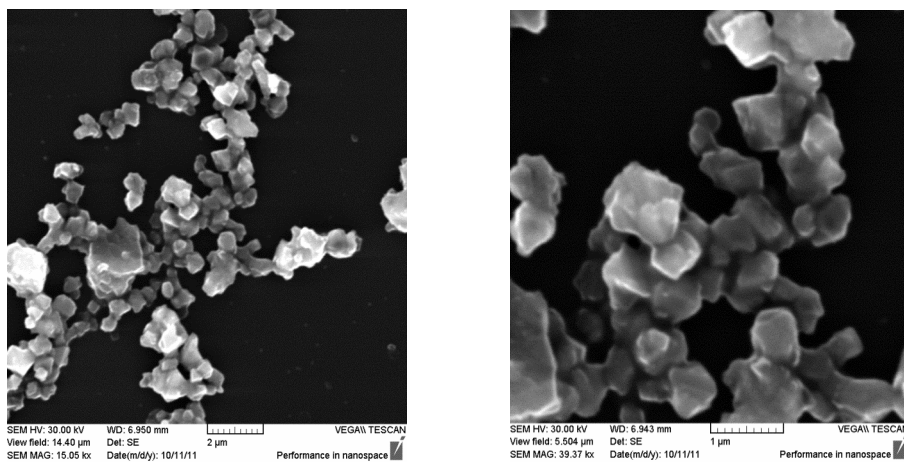
در روش‌های مرسوم سنتز کاربید تیتانیوم، حداقل دمای مورد نیاز برای رسیدن به TiC خالص ۱۵۰۰–۱۶۰۰°C است. اما در روش سلزل دمای واکنش کاهش چشمگیری پیدا می‌کند و ابعاد ذرات نهایی بسیار کوچکتر و نانومتری می‌تواند باشد. این کاهش دما در روش سلزل نسبت به سایر روش‌ها



شکل ۱۱- تصاویر SEM از ریزساختار نمونه‌ی S1 کلیسینه شده در دمای 1300°C به مدت یک ساعت



شکل ۱۲- تصاویر SEM از ریزساختار نمونه‌ی S1 کلیسینه شده در دمای 1400°C به مدت یک ساعت

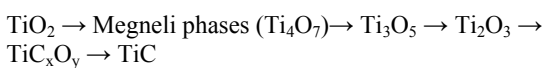


شکل ۱۳- تصاویر SEM از ریزساختار نمونه‌ی S1 کلیسینه شده در دمای 1400°C به مدت یک ساعت

اندازه‌ی ذرات، نوع و خلوص فاز نهایی یک تعادل برقرار شود. بنابراین دمای بهینه برای سنتز کاربید تیتانیوم نانوساختار به روش سل‌ژل و با استفاده از پیش‌ماده‌های ساکارز و تراالیزوپروپوکساید تیتانیوم 1400°C نتیجه‌گیری می‌شود.

۴- نتیجه‌گیری

۱- با توجه به شناسایی فازها در دماهای مختلف، مکانیزم احیای کربوترمال به صورت زیر معرفی شده است:



۲- به دلیل تمايل بالاي سистем Ti-C به ترکيب شدن با اکسيزن و نيتروژن محیط و تاثير زياد اين ناخالصي‌ها بر استوکيometri نهايی محصول، اتمسفر کلسیناتيون يكى از مهم‌ترین و تعیین‌کننده‌ترین پارامتر در سنتز کاربید تیتانیوم محسوب می‌شود.

۳- در دماهای کمتر مانند 1200°C اکسی کاربید تیتانیوم $\text{TiC}_{x,y}\text{O}_y$ به همراه اکسید تیتانیوم به شکل Ti_3O_5 حضور دارد. با افزایش دما مقدار اکسی کاربید تیتانیوم بیشتر شده است و از مقادیر اکسید تیتانیوم کاسته شده است. در دمای 1400°C کاربید تیتانیوم خالص حاصل شده است. شرایط بهینه برای سنتز کاربید تیتانیوم نانوساختار در اتمفر $\text{Ar}+25\%\text{H}_2$ در دمای 1400°C به مدت یک ساعت نتیجه شده است.

پيك‌های TiC منتقل شدنده بیانگر تشکیل TiC خالص در سیستم است. در شکل (۱۱) تصاویر SEM نمونه S1 کلسینه شده در دمای 1300°C به ترتیب در بزرگنمایی‌های ۵۰۰۰۰ و ۱۰۰۰۰۰ ارائه شده است.

در شکل‌های (۱۲) و (۱۳) تصاویر SEM از ریزساختار پودر TiC سنتز شده از نمونه S1 که در دمای 1400°C به مدت یک ساعت کلسینه شده است، در بزرگنمایی‌های ۱۲۰۰۰، ۱۵۰۰۰ و ۴۰۰۰۰ نشان داده شده است. همان‌طور که در تصاویر مشخص است، ذرات کاربید تیتانیوم به صورت مکعبی و زاویه‌دار قابل تشخیص است. ایجاد ذرات مکعبی در این دما بیانگر پیشرفت کامل مکانیزم احیای کربوترمال است و تنها فاز به دست آمده کاربید تیتانیوم است [۸]. در روش پراش‌سنجدی، بین پهن شدن پيك یک ماده و اندازه ذرات آن وابستگی وجود دارد که به رابطه شر $t = 0.9\lambda/\text{Bcos}\theta_B$ در این رابطه، t اندازه ذره، B عرض پيك در نصف شدت بیشینه بر حسب رادیان، λ طول موج پرتو ایکس و θ_B زاویه برآگ مربوط به پيك ناشی از پراش است. با استفاده از رابطه شرر اندازه‌ی ذرات حدود 36nm محاسبه شده است. آگلومراسیون و ذرات درشت‌تری در تصاویر میکروسکوپ الکترونی مشاهده می‌شود. این ذرات درشت نیز از بلورهای نانومتری تشکیل شده‌اند. به دلیل دمای بالاتر امکان رشد ذرات فراهم شده است اما در انتخاب دمای بهینه، باید بین

رابطه شر به صورت زیر است:

$$t = 0.9\lambda/\text{Bcos}\theta_B$$

در این رابطه، t اندازه ذره، B عرض پيك در نصف شدت بیشینه بر حسب رادیان، λ طول موج پرتو ایکس و θ_B زاویه برآگ مربوط به پيك ناشی از پراش است. با استفاده از رابطه شرر اندازه‌ی ذرات حدود 36nm محاسبه شده است. آگلومراسیون و ذرات درشت‌تری در تصاویر میکروسکوپ الکترونی مشاهده می‌شود. این ذرات درشت نیز از بلورهای نانومتری تشکیل شده‌اند. به دلیل دمای بالاتر امکان رشد ذرات فراهم شده است اما در انتخاب دمای بهینه، باید بین

واژه‌نامه

- | | | |
|----------------|------------------------------------|-------------------------|
| 1. henrypreiss | 4. scherrer | 7. Nitric acid 65% |
| 2. rambo | 5. Titanium tetraisopropoxide | 8. Sucrose (Saccharose) |
| 3. pine wood | 6. Isopropyl alcohol (Isopropanol) | |

مراجع

۱. ابراهیمی، م. ا.، عبادزاده، ت و ذریه سیدی، س. م. "کاربیدها: فرایندهای ساخت، خواص و کاربردها"، موسسه دانش پویان جوان، س. ۳۶، ۴۰-۳۶، ۱۳۸۹.
2. Pierson, H. O., "Handbook of Refractory Carbides and Nitrides: Properties, Characteristics, Processing and Applications," pp. 99-112, NOYES Publications, New Jersey, 1996.
3. Storms, E. K., *The Refractory Carbides*, pp. 66-71, Academic Press, New York, 1967.
4. Toth, L. E., *Transition Metal Carbides and Nitrides*, Academic Press, New York, 1971.
5. Hou, X., Liu, X., and Guo, M., "A Theoretical Analysis for Oxidation of Titanium Carbide," *Journal of Material Science*, Vol. 43, pp. 6193-6199, 2008.
6. Bandyopadhyh, D., "The Ti-Si-C System (Titanium-Silicon-Carbon)," *Journal of Phase Equilibria and Diffusion*, Vol. 25, pp. 415-420, 2004.
7. Preiss, H., Berger, L. M., and Schultze, D., "Studies on the Carbothermal Preparation of Titanium Carbide from Different Gel Precursors," *Journal of the European Ceramic Society*, Vol. 19, pp. 195-206, 1999.
8. Rombo, C. R., Cao, J., Rusina, O., and Sieber, H., "Manufacturing of Biomorphic (Si,Ti,Zr)-Carbide Ceramics by Sol-Gel processing," *Carbon*, Vol. 43, pp. 1174-1183, 2005.
9. Zhang, H., Li, F., Jia, Q., and Ye, G., "Preparation of Titanium Carbide Powders by Sol-Gel and Microwave Carbothermal Reduction Methods at Low Temperature," *Journal of Sol-Gel Science and Technology*, Vol. 46, pp. 217-222, 2008.
10. Scherer, C. P., and Pantano, C. G., "Titania-Silica Glasses using a Colloidal Sol-Gel Process," *Journal of Non-Crystalline Solids*, Vol. 82, pp. 246-255, 1986.
11. Barboux-Doeyff, S. and Sanches, C., "Synthesis and Characterization of Titanium Oxide-based Gels Synthesized from Acetate Modified Titanium Butoxide Precursors," *Material Research Bulletin*, Vol. 29, pp. 1-13, 1994.
12. Berger, L. M., Gruner, W., Langhoff, E., and Stolle, S., "On the Mechanism of Carbothermal Reduction processes of TiO₂ and ZrO₂," *International Journal of Refractory Metals and Hard Materials*, Vol. 17, pp. 235-243, 1999.
13. Razavi, M., Rahimpour, M. R., and Kaboli, R., "Synthesis of TiC Nanocomposite Powder from Impure TiO₂ and Carbon Black by Mechanically Activated Sintering," *Journal of Alloys and Compounds*, Vol. 460, pp. 694-698, 2008.
14. Feng, W., Dianli, Q., and Zhijian, L., "Research on the Synthesis of Titanium Nitride by Carbothermal Reduction Nitriding with Anatase and Flake Graphite," *Advanced Materials Research*, Vol. 295-297, pp. 477-480, 2011.